

參 考 文 獻

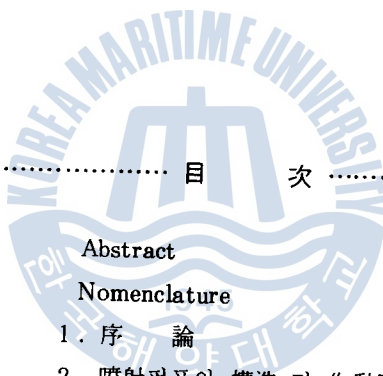
1. 河江植 : 自動制御工學, 海事圖書出版, 釜山, PP. 187~189, (1976)
2. 棋木義一 : 自動制御工學, 齊賢堂發行, 東京, P. 227, (1984)
3. O.J.M.Smith : Closer Control of Loops with Dead Time, Chemical Engineering Progress, Vol. 53, No. 5, PP. 217~219, (1957)
4. 渡辺慶二 : Smith法による外乱に対する制御特性の改善, 計測自動制御学会論文集, 第16卷 第6號, P. 187, 昭和58
5. A.C.Ieannides : Stability Limits of A Smith Controller in Simple Systems Containing A Time Delay, INT. J. Control., Vol. 20, PP. 477~486, (1974)
6. B.C.Kuo : Automatic Control System, Prentice-Hall, Inc., PP. 500~503, (1987)
7. J.F.Doneglio : A Comparison of The Smith Predictor and Optimal Design Approaches for Systems with Delay in The Control, IEEE Trans. Industr. Electronics Control Instrum., Vol. 24, NO. 1, PP. 109~117, (1977)
8. 中西英二 : 操作量に付する時間延滞による多段階時滞系に対する Smith Predictor の安定性, 計測自動制御学会論文集, 第16卷 第6號, PP. 846~851, 昭和55
9. Z.Palmer : Stability Properties of Smith Dead Time Compensator Controllers, INT. J. Control., Vol. 32, NO. 6, PP. 937~949, (1980)
10. 棋木義一 : 前掲書2, P. 228
11. 河江植, 柳吉洙 : PID制御器의 最適調整에 關한 研究, 韓國海洋大學 大學院論文集, Vol. 2, P. 91, (1979)
12. K.Ogata : Modern Control Engineering, Prentice-Hall, Inc., PP. 166~167, (1970)
13. J.M.Douglas : Process Dynamics and Control, Vol.1, Prentice-Hall, Inc., PP. 262~263, (1972)
14. H.M.Paynter : A New Method of Evaluating Dynamic Response of Counter-flow and Parallel-flow Heat Exchangers, Transactions of The ASME, PP. 749~758, (1956)
15. 千熙英 : 自動制御解析外制御機器, 清文閣, 釜山, P. 257, (1982)

물噴射펌프에 있어서 面積比가 効率에 미치는 影響

朴炳翰

The Effect of Area Ratio on
Water Jet Pump Performance

Byeon-han Park



目 次

Abstract

Nomenclature

1. 序論
 2. 噴射펌프의 構造 및 作動原理
 3. 噴射펌프의 効率 및 壓力比
 4. 實驗裝置 및 實驗方法
 4. 1 實驗用 噴射펌프
 4. 2 測定裝置
 4. 3 循還部
 4. 4 驅動壓力의 決定
 4. 5 實驗方法
 5. 實驗結果 및 考察
 5. 1 壓力變化過程
 5. 2 効率 및 壓力比
 6. 結論
- 參考文獻

Abstract

In water jet pump, area ratio affects mainly its performance. Hence, a study of area ratio is the most important investigation of water jet pump.

This paper shows the results from the investigation of several area ratios, with the two different throat lengths of water jet pump. Experimental values of efficiency and head ratio are compared with the one dimensional theoretical equation.

The results are as follows:

1. The efficiency is not affected by the spacings from nozzle exit to throat entrance, whose values are $(0.0 \sim 1.5) d_t$.
2. The one dimensional theoretical equation closely coincides with the experimental results, and the maximum efficiency of jet pump is approximately 29%.
3. It is shown that the throat lengths are $(1.0 \sim 5.0) d_t$, and that they approach to $5.0 d_t$ as flow ratio increases and area ratio decreases.

The study for improving nozzle shape, diffuser angle and diffuser length should be continued in future.

Nomenclature

A = area, m^2	subscripts
C_p = pressure coefficient	d = diffuser
c = velocity coefficient	n = nozzle tip
d = diameter, mm	s = suction fluid
f = friction factor	t = throat
g = gravitational acceleration, 9.8m/s^2	x = pressure tap position from throat entrance
h = static head, m	0 = nozzle exit plane
h_f = friction loss, m	1 = motive fluid
K = friction loss coefficient	2 = suction chamber
l = length, mm	3 = throat entrance
l_s = nozzle spacing, mm	4 = throat exit
M = flow ratio, Q_s/Q_1	
m = mass flow rate, kg/s	
N = head ratio, $(P_d - P_2) / (P_1 - P_d)$	
P = static pressure, N/m^2	
Q = volumetric flow rate, m^3/s	
R_A = area ratio, A_n/A_t	
V = velocity, m/s	
x = distance from throat entrance, mm	
γ = specific weight, N/m^3	
θ = diffuser angle, deg	
η = efficiency	

1. 序論

壓力이 있는 蒸氣 또는 물을 노출을 통해서 噴射시켜 그周圍에 局部的인 真空을 만들고 液體, 灰 또는 空氣를 吸入하여, 여기에 氣流 또는 水流에 의한 速度에너지를 附與하여, 送給하는 噴射泵의 運動部分이 없을 뿐더러 潤滑이 필요 없고 純淨과 信賴性 때문에 灰 에JECTOR, 船舶의 빌지 除去(Bilge Ejector), 復水器의 空氣 에JECTOR 등에 많이 이용된다.

Rankine이 두 流體 흐름의 配合理論¹을 발전시킨 후에 많은 實驗的研究가 있었으며,^{2~6} 그중에서도 性能面에서 改善을 위한 研究가 계속되고 있다.^{7~9}

噴射펌프는 壓力を 降下시켜 速度에너지를 附與하는 노출과 速度에너지를 壓力에너지로 變換시키는 디퓨저로構成되어 있다. 噴射펌프의 性能은 노출 出口面積과 목의 面積比와 比例面積比, 노출出口에서 목 入口까지의 거리, 목의 길이, 디퓨저 擴大角 및 길이, 吸入室入口의 形狀, 노출의 形狀 등이 영향을 미치기 때문에 실재 設計는 理論的인 것보다 實驗的研究에 더욱 依存하고 있는 實情이다. 噴射펌프의 効率에 關聯되는 壓力比 및 驅動流體와 吸入流體와의 比例流量比, 面積比에 의해서 가장 큰 영향을 받기 때문에 噴射펌프에서 面積比는 가장 重要한 要素인 것이다.²

本研究에서는 목길이와 디퓨저 길이가 서로 다른 2개의 물噴射펌프를製作하여 面積比와 檢化에 따른 流量比, 壓力比, 噴射펌프의 効率을 解析적으로 구한 1次元 近似式의 成과 比較하였으며, 물噴射펌프 각 部分의 壓力變化過程에 대하여 考察하였다.

2. 噴射펌프의 構造 및 作動原理

Fig.1은 噴射펌프의 基本構造를 나타낸 것이다. 壓力에너지를 速度에너지를 變換시키는 노출과 流體를 吸入하는 吸入室, 流體의 混合이 이루어지는 목, 速度에너지를 壓力에너지를 變換시키는 디퓨저로 나누어진다.

驅動流體는 노출에 의하여 高速으로 된다. 이때 吸入室內의 真空 상태로 인하여 低速의 吸入流體는 吸入室로流入되어 驅動流體와 混合이 된다. 流體는 목 部分에서 완전히 混合이 되어 디퓨저를 통해 壓力에너지를 附與받아 吐出하게 된다. 吸入流體는 驅動流體의 에너지를 받아서 加速되며 驅動流體는 減速되어진다. 이 過程은 均一 흐름으로 될 때까지 목 部分에서 계속되며 목길이가 짧을 때는 디퓨저에 까지 이르기도 한다.^{10, 11}

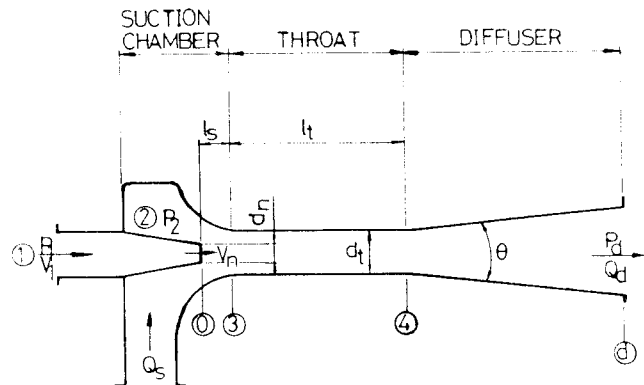


Fig.1 Jet pump and nomenclature.

Fig.1은 噴射펌프의 基本構造를 나타낸 것이다. 壓力에너지를 速度에너지를 變換시키는 노출과 流體를 吸入하는 吸入室, 流體의 混合이 이루어지는 목, 速度에너지를 壓力에너지를 變換시키는 디퓨저로 나누어진다.

3. 噴射펌프의 効率 및 壓力比

실제 噴射펌프에 있어서 流體의 흐름은 3 次元으로 매우 複雜하게 이루어지나 本 論文에서는 單純화시켜 1 次元으로 解析하였으며, Bernoulli 方程式, 運動量方程式 및 連續方程式을 適用하여 噴射펌프의 効率을 나타내는 關係式을 誘導하였다. 式을 誘導하는 데 있어서 다음과 같이 假定하였다.

- ① 두 流體는 非壓縮性이고 密度가 같다.
- ② 두 流體의 温度는 같고 作動 중 温度變化는 없다.
- ③ 모든 混合이 目의 出口에서 完了된다.

Fig. 1에서 노즐의 入口와 出口 사이에 Bernoulli 方程式을 適用시키면 다음과 같다.

$$\frac{P_1}{\gamma} + \frac{V_1^2}{2g} = \frac{P_o}{\gamma} + \frac{V_n^2}{2g} + h_{f1} \quad (1)$$

여기서 摩擦損失을 다음과 같이 設定한다.

$$h_{f1} = K_1 \frac{V_n^2}{2g}$$

$$K_1 = \left(\frac{1}{c_1^2} - 1 \right) \quad (2)$$

$V_1=0$ 이라 두면 式(1)은 다음 式으로 表示할 수 있다.

$$P_1 - P_o = \frac{\gamma V_n^2}{2g} (1 + K_1) \quad (3)$$

또한, 吸入室에서도 같은 方法으로, 吸入流體에 대해서 摩擦損失을 考慮하고, V_s 는 작으므로 無視하면 다음 式(5)를 얻는다.

$$h_{fs} = K_s \frac{V_{so}^2}{2g}$$

$$K_s = \left(\frac{1}{c_s^2} - 1 \right) \quad (4)$$

$$P_2 - P_o = \frac{\gamma V_{so}^2}{2g} (1 + K_s) \quad (5)$$

목 部分에서는 運動量方程式을 適用하면 다음 式으로 나타낼 수 있다.

$$P_t - P_3 = \frac{1}{A_t} (m_1 V_n + m_s V_3 - m_t V_t) - \gamma h_{ft} \quad (6)$$

$$h_{ft} = K_t \frac{V_t^2}{2g}$$

$$K_t = f \cdot \frac{l_t}{d_t} \quad (7)$$

디퓨저 入口와 出口 사이에 Bernoulli 方程式을 適用한다. 流體의 에너지는 모두 壓力에너지로 變換되므로 吐出速度 V_d 를 無視하면 다음 式이 얻어진다.

$$P_d - P_t = \frac{\gamma V_t^2}{2g} (1 - K_d) \quad (8)$$

$$h_{fa} = K_d \frac{V_t^2}{2g}$$

그런데 噴射펌프의 効率은 一般面積比를 놓고 같은 결과를 나타낸다.

$$\eta = \frac{Q_s(P_d - P_2)}{Q_i(P_i - P_2)}$$

여기서, $P_2 = 0$ 일 때 $P_d = P_3$ 이 되며, 그 외에는 $P_2 > 0$ 이다.

$$P_d - P_2 = (P_d - P_3) + (P_3 - P_2) = (P_d - P_3)$$

$$P_i - P_d = (P_i - P_3) + (P_3 - P_d) = (P_i - P_3)$$

따라서, 連續方程式을 다음과 같이 한다.

$$m_t = m_i + m_s$$

따라서, 式(3), (5), (6), (8)을 式(9)에서 대입하면 다음과 같다.

$$N = \frac{P_d - P_2}{P_i - P_d} = \frac{2R_A + \frac{2R_A^2 M^2}{1-R_A}}{(1+K_t + K_d) R_A^2 (1+M)^2} = (1+K_d) \frac{R_A^2 M^2}{(1-R_A)^2} \\ = \frac{1+K_t + 2R_A - \frac{2R_A^2 M^2}{1-R_A}}{1+K_t + K_d} + (1+K_t + K_d) R_A^2 (1+M)^2 \quad (13)$$

$$\text{단, } M = \frac{Q_s}{Q_i}, \quad R_A = \frac{A_t}{A_s}$$

따라서 効率은 式(9)에서

$$\eta = MN \quad (14)$$

이 된다.

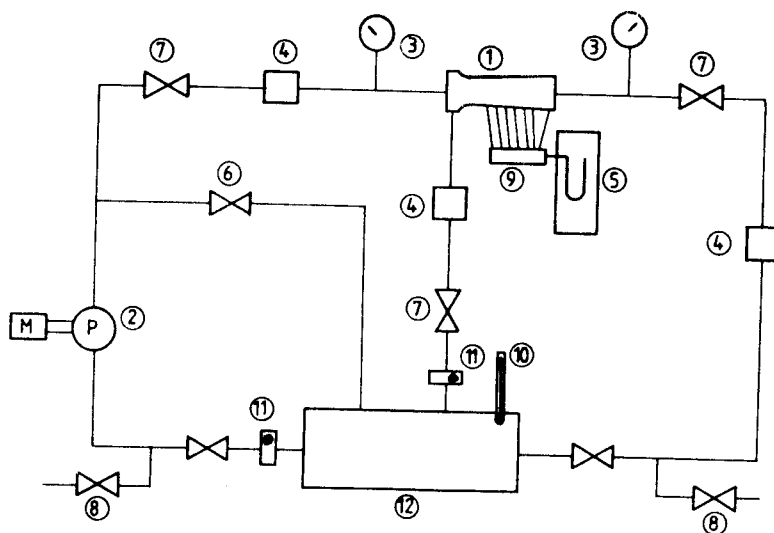
4. 實驗裝置 및 實驗方法

實驗裝置의 配置圖는 Fig. 2, Photo. 1에서 보는 바와 같다. 實驗裝置는 實驗用 噴射器, 測量裝置, 循環部로 構成되어 있다.

4.1 實驗用 噴射펌프

Fig. 3과 같은 두 종류의 펌프를 아크릴로製作하였다. 이것은 Photo. 2에서 보는 바와 같이 실제 흐름을 觀察하기 위함이다. 노출出口에서 두出口까지의 간리를 $1.5d_t$ 까지 調節可能하게 나사를 두 개 노출 및 噴射器는 그 외에 단되었으며, 그 사이에 空氣牛 塞가 넣어 고정 배경을 設置하였다. 噴射器는 원형에 直径 1.0mm의 孔이 뚫려 있었으며, 外徑 1.0mm 注射針은 設置하였다. 이 注射針은 호스로 連結하고, 分岐管은 동반자 아노미터로 電力量測装置를 얹도록 하였다.

노출리는 $(3.5\sim8.0)d_t$ 의 提案된다. 本研究는 $4.07d_t$ 와 $5.74d_t$ 를 썼다. 병의 경리는 電力量測裝置와 混合부 및 部分에 대한 관리에 있어, 本面, 流量計와 電力量測裝置를 通過하는 동안 摩擦損失이增加



- | | | |
|-----------------------|---------------------|------------------|
| 1. Jet pump | 2. Centrifugal pump | 3. Pressure gage |
| 4. Flow meter | 5. Manometer | 6. By-pass valve |
| 7. Flow control valve | 8. Drain valve | 9. Manifold |
| 10. Thermometer | 11. Filter | 12. Water tank |

Fig.2 Schematic diagram of experimental apparatus.



Photo.1 Experimental apparatus.

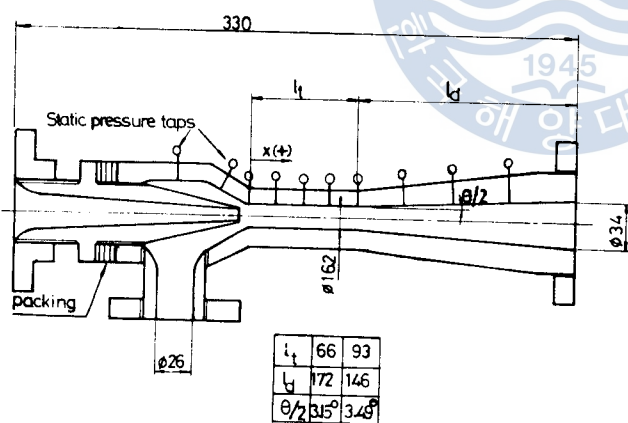


Photo.2

Water jet pump and static pressure taps.

Fig.3 Test pump and location of static pressure taps.

아래 되나. 그러나 목의 질이가 짙아지면 流體의 混合이 불완전한 상태에서 대류에 의해 농도
분 噴射의 功率를 低下시키는 原因이 된다.

내유체 확장부에서 $\theta = 7^\circ$ 인 경우에서摩擦損失이 가장 커서摩擦損失係數는 0.1415로 최대 6.25%가 되었다. 축소부에서는 확장부에 비해 각도에 따른摩擦損失의 변화가 유동現象(Flow pattern)을 고려하여야 한다.^{12), 13)}

면적비율 변화시키는 노출도 역시 아크릴로 만들었으며, Fig. 4, Photo. 4에 보듯, 예상

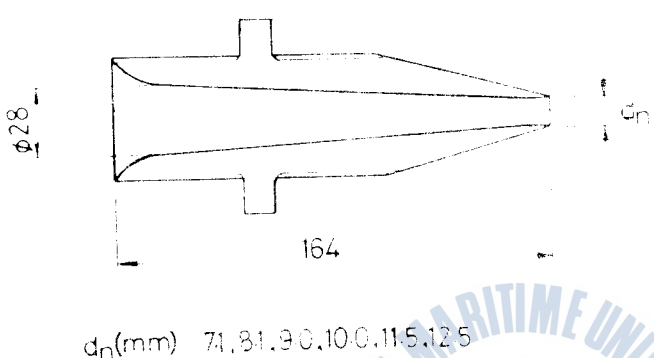


Fig. 4 Nozzle.



Photo 3 Jet pump body



Photo. 4 Nozzles.

4.2 測定裝置

驅動壓力과 吐出壓力를 测定하기 위해 壓力計를 設置하였다. 噴射泵은 設置用 흡관과 呼吸
吐出壓力測定用을 60mm 떨어진 노예에 驅動壓力測定用은 45mm 떨어진 노예에 각각 設置하였다.
吸入压壓力은 噴射泵과 45mm 떨어진 노예에 設置하였다. 流體管은 약 3m의 길이로 3mm의 내경
設置하였다. 呼吸压力는 噴射泵에連結되는 노예 끝부분에 流體管을 4mm의 내경으로 設置하였다.
이제 呼吸 노예에 呼吸气体를 30L/min의 流量로 주입하는 呼吸泵을 設置하였다.

Photoelectric sensor Photoelectric sensor Photoelectric sensor Photoelectric sensor



Photo. 5. Manometer.

測量計：驅動轉子流計、溫度計、發酵罐、酸度計、總固形物計、酵母濃度計、酵母活力計、呼吸速率計、呼出氣溫計、呼吸流速調節器、CO₂吸收劑、溫度計、生物流體溫度計、細菌計、設置計數計，實驗室水流體溫度計、細菌計、生物流體溫度計、測量罐內細菌設置計數計。

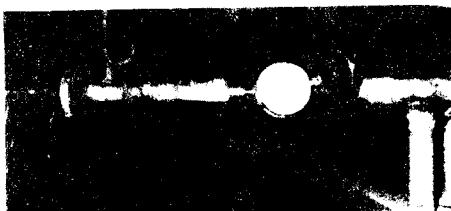


Photo 6 Flow control valve and flow meter.

4.3 循環部

作動流體인 물의貯藏을 위해 $2.4m \times 1.15m \times 1.15m$ 탱크를 使用하였다. 220V 電動機로 驅動되는 流量 $0.2\text{m}^3/\text{min}$, 最大 양정 75mAq , 7.5kW 인 遠心펌프(Photo. 7)에 의하여 탱크內의 流體는 탱크内部에 設置된 구리網 필터를 通過하며, 驅動流量調節을 위해 設置된 바이패스 밸브에 의하여 流量가 調節된 후 噴射펌프의 노즐로 流入되도록 하였다. 한편, 같은 탱크內의 流體가 역시 필터를 通過한 후 吸入流體가 되어 流量計를 거쳐 噴射펌프吸入室에 流入된다. 混合이 完了된 流體는 流量計로써 流量를 測定한 후 다시 탱크로 吐出한다. 循環回路에 使用된 파이프는 驅動部 및 吐出部는 内徑이 50mm 이고, 吸入部는 内徑 25mm 인 壓力配管用 炭素鋼 鋼管을 使用하였다.



Photo. 7 Driving motor and centrifugal pump.

4.4 驅動壓力의 決定

바이패스 밸브를 調節하여 驅動壓力을 10mAq 로부터 10mAq 씩增加하면서 각部分의 壓力を 測定하였다. Fig. 5는 驅動壓力이 變化할 때 각面積比에 대한 効率의 變化를 나타낸다. 驅動壓力이 30mAq 이하에서는 각面積比에 대하여 効率에 큰 變化가 없음을 나타낸다. 그러나 30mAq 이상에서는 効率의 減少가 極甚함을 나타내고 있다. 모든面積比에서 驅動壓力이 30mAq 이하에서는 本 實驗用 噴射펌프가 最適의 상태로 作動됨을 알 수 있으므로 驅動壓力을 20mAq 로 選定하여 實驗을 행하였다.

4.5 實驗方法

作動流體로써 물을 使用하였으며 實驗中 물의 温度變化는 거의 없었다.

노즐出口直徑 7.1mm 를 選擇하여 吸入部, 吐出部 밸브를 완전히 열어 둔 상태에서 電動機를 驅動시켜 遠心펌프를 作動시켰다. 噴射펌프의 作動이 安定된 후 實驗을 행하였다. 이때 驅動流量을 바이패스 밸브로 調節하여 驅動壓力은 20mAq 로 일정하게 維持하였다. 吐出部 밸브를 調整하여 流量比를 0.1까지 變化시켜 가면서 각각의 流量 및 壓力を 測定하였다. 노즐出口에서 목入口까지 거리 l_s 는 $l_s = 4.07d_t$ 인 경우, $0.124d_t$, $0.556d_t$, $1.0d_t$, $1.46d_t$ 로, 또한 $l_s = 5.74d_t$ 인 경우는, $0.247d_t$, $0.679d_t$, $1.142d_t$ 로 變化시켜 가면서, 같은 方法으로 流量 및 壓力を 測定하였다. 또한, 노즐出口直徑이 8.1 , 9.0 , 10.0 , 11.5 , 12.5mm 인 경우에 대해서도 위와 같은 實驗을 행하였다.

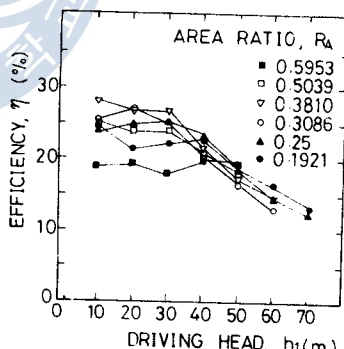


Fig. 5 Test results for driving pressure.

5. 實驗結果 및 考察

모든 實驗값은 電算處理하여 圖面에 나타내었다. 式(13)은 摩擦損失係數 K 의 值과 面積比를 2 경하게 할 때는 流量比만의 函數가 된다. K_t , K_s 는 式(2), (4)에서 구하였으며 Mueller¹²⁾의 速度係數을 이용하였다. K_a 는 디퓨저擴大角이 $6^\circ \sim 7^\circ$ 일 때 $K_a=0.14$ 로 決定하였다.^{12), 13)} 목에서의 摩擦損失係數 K_t 는 式(7)로 구하였으며, 本 實驗에서는 Reynolds 數가 $(0.9 \sim 2.9) \times 10^5$ 이므로 摩擦係數 f 를 Moody 線圖에서 구하였다.^{13), 14)} Table 1은 摩擦損失係數를 구한 結果이다.

Table 1. Friction loss coefficients.

K	l_t	$5.74d_t$	$4.07d_t$
K_t		0.0851	0.0851
K_s		0.108	0.108
K_t		0.0912	0.0647
K_a		0.14	0.14

5.1 壓力變化過程

噴射嘴 内의 壓力의 變化過程을 調査하기 위하여 壓力係數를 定義한다. 즉,

$$C_p = \frac{h_x - h_1}{\frac{V_n^2}{2g}} \quad (15)$$

1) 노즐거리(Nozzle spacing)의 영향

Fig. 6, 7은 노즐거리가 壓力係數에 주는 영향을 나타낸 것이다. 목 入口에서 壓力降下가 일단 일어난 뒤 계속 壓力이 上昇한다.

Fig. 7에서는 목의 出口에서도 壓力降下를 볼 수 있다. 이 現象은 노즐거리가 增加할수록 壓力降下는 深化된다. Fig. 6의 $4.07d_t$ 噴射嘴에서는 $1.46d_t$ 의 노즐거리에서 약간의 壓力降下가 있을 뿐이다. 이러한 목 出口에서의 壓力降下 現象은 混合이 完了된 流體가 일정 直徑의 목 部分을 通過하는 동안 摩擦損失에 그 原因이 있다고 생각되므로, $5.74d_t$ 의 목길이는 약간 길다고 推定된다.

Ueda²⁾에 의하면 목길이를 $(3.5 \sim 6.0)d_t$ 까지 許容하고 있고 Sanger⁶⁾는 $5.66d_t$ 에서 좋은 結果를 나타내고 있다. 또한, 많은 研究들이 $(5.0 \sim 6.0)d_t$ 의 목길이를 提案하고 있다.^{3), 4)} 그러나 本 研究로 미루어 볼 때, 목길이가 $5.74d_t$ 인 경우는 $4.07d_t$ 에 비하여 摩擦損失이 增加되므로, 最適의 목길이는 $(4.0 \sim 5.0)d_t$ 로 推定할 수 있다.

2) 流量比의 영향

Fig. 8, 9에서는 流量比가 噴射嘴 内의 壓力變化에 어떠한 영향을 주는가를 나타내고 있다. $4.07d_t$ 의 경우는 $5.74d_t$ 의 목길이보다 壓力變化가 緩慢함을 나타내고 있으며, Fig. 8의 목길이가 $5.74d_t$ 인 경우는 목 出口에서 壓力降下 現象이 이루어지고 있다.

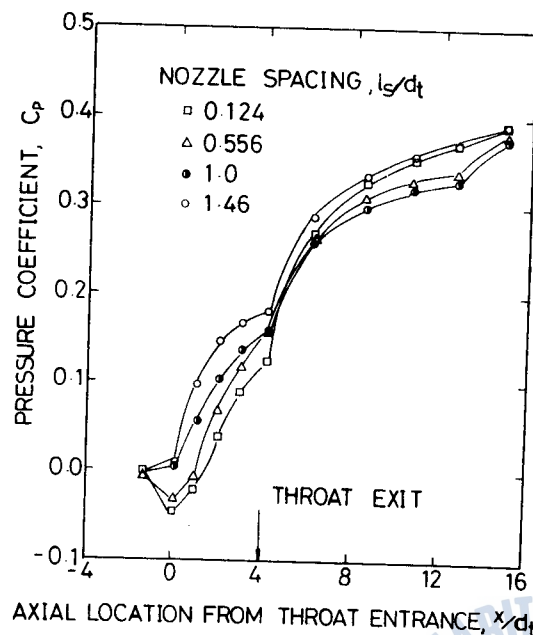


Fig. 6 Effect of nozzle spacing. Area ratio, $R_A=0.3086$; flow ratio, $M=0.5$.

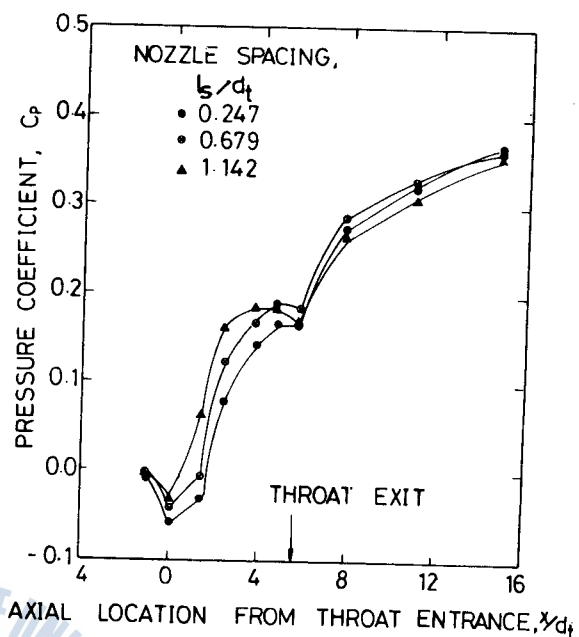


Fig. 7 Effect of nozzle spacing. Area ratio, $R_A=0.25$; flow ratio, $M=0.65$

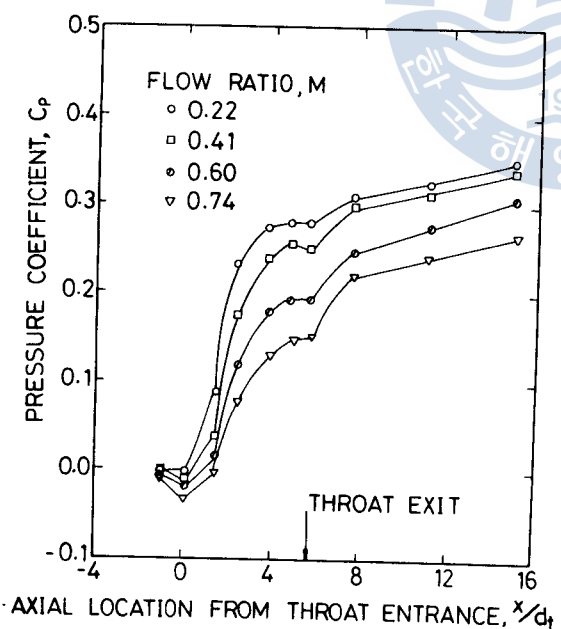


Fig. 8 Effect of flow ratio. Area ratio, $R_A=0.1921$; nozzle spacing, $l_s/d_t=0.679$.

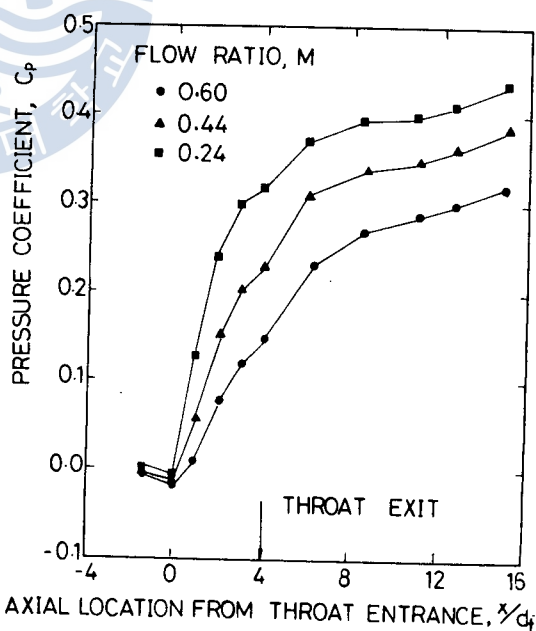


Fig. 9 Effect of flow ratio. Area ratio, $R_A=0.25$; nozzle spacing, $l_s/d_t=1.0$.

5.2 効率 및 壓力比

生面積比에 대한 効率의 變化를 Fig. 10, 11, 12에 나타내었다.
노출 出口에서 복 入口까지의 거리인 노출거리 l_s 가 $1.5d_t$ 까지 변화 때 効率에 미치는 영향의 그림을 Fig. 10에서 알 수 있다.

Fig. 11, 12에서는 노출거리가 $0.679d_t$, $1.0d_t$ 로 일정하고 각각의 面積比에서 流量比가 變화할 때의 効率을 나타내었다. 生面積比에서의 最大流量比는 面積比가 減少함에 따라 增加하며, 面積比가 增加하면 最大流量비는 減少한다. 일정한 流量比에서 面積比가 增加하면 効率은 增加하고, 面積比가 減少하면 効率은 減少한다. 實驗中 多噴射泵의 最高 効率은 29% 程度이며, 이것은 面積比 0.3810, 복의 길이 $l_t = 4.07 d_t$ 에서 얻을 수 있었고, 實線으로 表示된 式(4)의 理論効率과 實驗結果는 잘一致하고 있음을 알 수 있다. 단지 복길이 $4.07 d_t$ 의一部 流量比에서 不一致를 보여주고 있다 (Fig. 12).

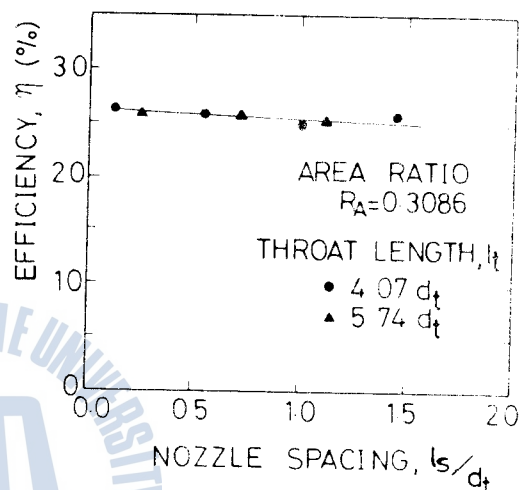


Fig. 10. Effect of nozzle spacing.

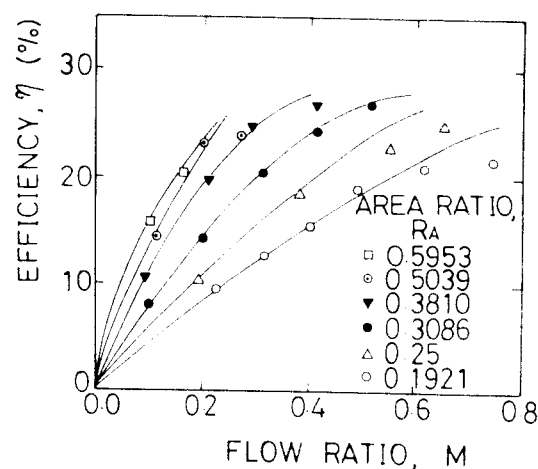


Fig. 11 Efficiency curves. Throat length, $l_t = 5.74 d_t$; nozzle spacing, $l_s/d_t = 0.679$.

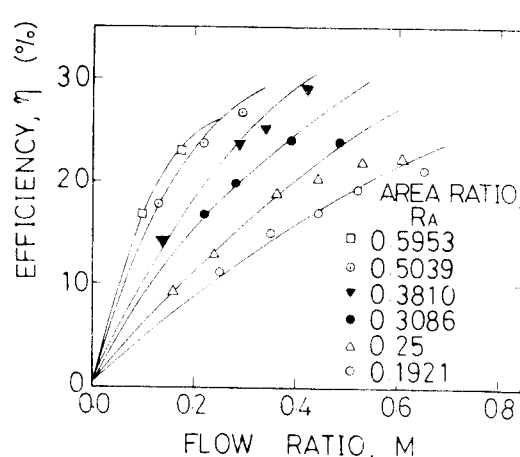


Fig. 12 Efficiency curves. Throat length, $l_t = 4.07 d_t$; nozzle spacing, $l_s/d_t = 1.0$.

이것은 목길이가 짧으므로 流體의 混合이 앞에서 假定한 것과 달리 목部分에서 완전히 이루어지지 않고, 디퓨저에까지 延長되는 데 그 原因이 있다고 생각된다. 그러나, 낮은 流量比에서는 짧은 목에서도 流體의 混合이 充分히 이루어졌으므로 式(14)와 잘一致하였다. 그러므로, 摩擦損失係數 K 의 값을正確하게 選定할 수만 있으면, 本 實驗範圍 밖의 상태도 推定할 수 있다.

Fig. 13, 14는 面積比가 變化할 때 일정한 流量比에서의 壓力比를 表示하였다. 역시 實線으로 나타낸 式(13)과 一致하고 있다. 일정한 面積比에서 流量比가 增加하면 壓力比는 減少하고, 流量比가 減少하면 壓力比가 增加함을 알 수 있다. 또한, 壓力比가 일정할 때 큰 流量比를 얻기 위해서는 面積比가 커져야함을 보여준다. 面積比의 選擇은 곧 流量比와 壓力比의 決定에 直接的 영향을 미치는 것을 알 수 있다.

Fig. 13의 點線은 Ueda²⁾의 實驗結果를 나타낸 것이다. Ueda의 實驗은 목의 길이를 $6.25d_t$ 로 한 결과이기 때문에 壓力比가 약간 작게 나타난 것이다. 그러나, 最大 壓力比를 나타내는 面積比는 거의 一致 함을 알 수 있다.

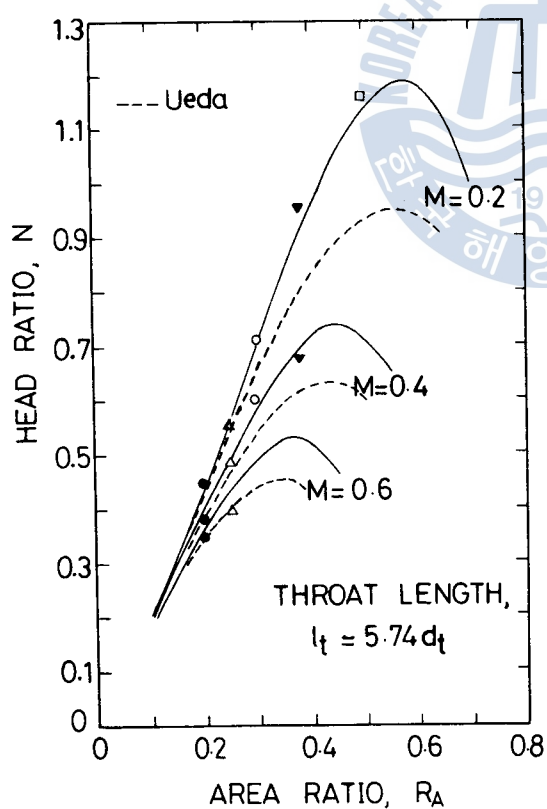


Fig. 13 Effect of area ratio.

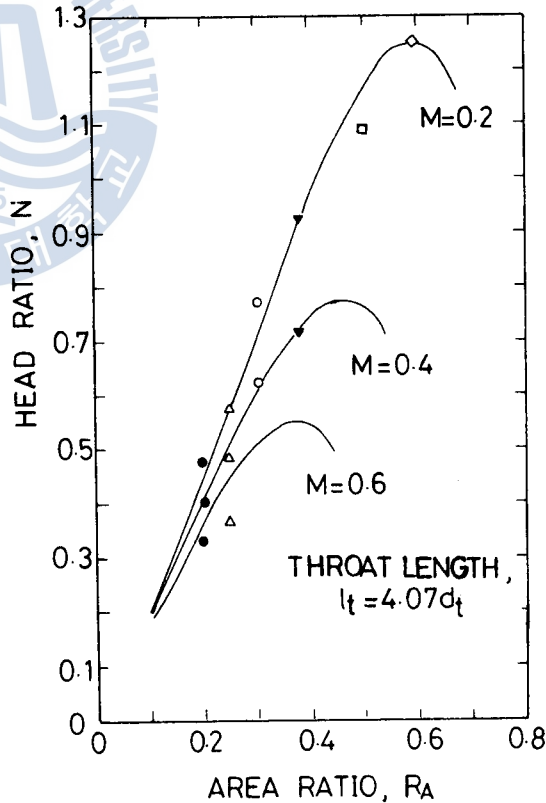


Fig. 14 Effect of area ratio.

Fig. 15에서 목길이가 流量比에 의하여 영향을 받고 있음을 나타내고 있다. 0.45 이하의 流量比에서는 $4.07 d_t$ 의 噴射펌프가 더욱 좋은 壓力比를 나타내고, 0.45 이상에서는 $5.74 d_t$ 가 더욱 좋은 것으로 나타낸다. 이것은 流量比가 커지면 流體의 混合가 더욱 激烈해지고 混合되는 流體의 量이 더욱 많아지므로, 완전混合을 위해서는 보다 긴 목의 길이를 要求한다고 생각된다. 따라서, 流量比가 작은 경우는 짧은 목이라 하더라도 混合가 목出口에서 완전히 이루어지므로 噴射펌프 効率에 영향을 미치는 것으로 생각된다.

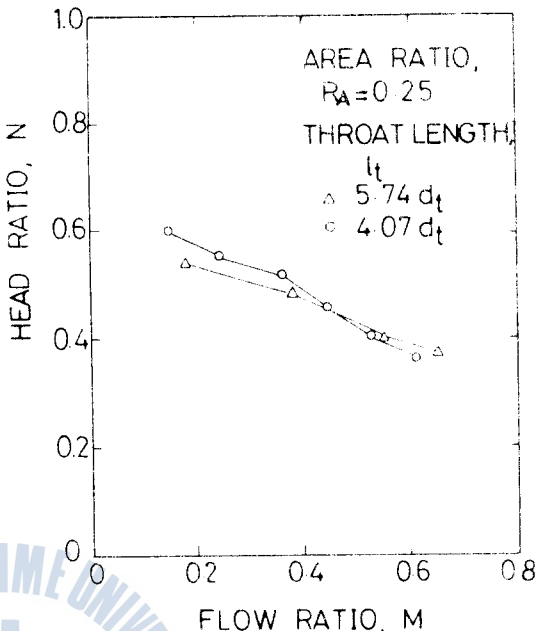


Fig. 15 Relation of flow ratio and head ratio.

6. 結論

面積比, 목의 길이, 노즐出口에서 목入口까지의 거리 등이 물噴射펌프 性能에 미치는 影響을 實驗, 分析하고 1次元 近似式과 比較하여 다음과 같은 結論을 얻었다.

1. 노즐出口에서 목入口까지의 거리 즉, 노즐거리 l_s 는 $(0.0 \sim 1.5) d_t$ 範圍에서는 물噴射펌프의 効率에 큰 영향을 미치지 않는다.
 2. 式(13), (14)에서 구한 理論効率과 實驗值에서 얻은 効率과는 거의 一致함을 알 수 있다. 일정 壓力比에서는 面積比가 增加할수록 流量比도 增加하며, 일정 流量比에서는 面積比가 增加할수록 効率은 增加하고, 물噴射펌프의 最高 効率은 29% 程度이다.
 3. 목의 길이의 變化에 따른 壓力變化過程을 檢討한 바, 목의 길이를 $(4.0 \sim 5.0) d_t$ 程度로 推定할 수 있으며, 流量比가 클수록 또한 面積比가 작을수록 목의 길이는 $5.0 d_t$ 에 가까워 진다.
- 앞으로 노즐 形狀, 디퓨저 擴大角, 디퓨저 길이 등이 噴射펌프 性能에 미치는 영향에 관한 研究가 예속 필요하며, 効率面에서 더욱 改善할餘地가 있다고 생각된다.

參 考 文 獻

1. J. M. Rankine: On the Mathematical Theory of Combined Streams, Proc. Roy. Soc. (London), vol. 19, p. 90, (1870).
2. 植田辰洋: 水噴射ポンプに関する研究, 日本機械學會論文集, 20卷, 89號, p. 25, (1954).
3. N. H. G. Mueller: Water Jet Pump, Proc. ASCE, vol. 90, no. HY3, pt. 1, p. 83, (1964).
4. A. Edgar Kroll: The Design of Jet Pumps, Chem. Eng. Progr., vol. 1, no. 2, p. 21, (1947).
5. N. L. Sanger: Noncavitating Performance of Two Low-Area-Ratio Water Jet Pumps Having Throat Lengths of 7.25 diameters, NASA TN D-4445, (1968).
6. N. L. Sanger: An Experimental Investigation of Several Low-Area-Ratio Water Jet Pumps, Trans. ASME, J. Basic Eng., vol. 92, no. 1, p. 11, (1970).
7. 葛原定郎, 清水執, 中村彰吾, 倉田重光: 外周噴流形ジェットポンプの研究, 日本機械學會論文集, 48卷, 436號, p. 2510, (1982).
8. R. G. Cunningham: Gas Compression With the Liquid Jet Pump, Trans. ASME, vol. 96, No. 3, p. 203, (1974).
9. R. G. Cunningham: Jet Breakup and Mixing Throat Lengths for the Liquid Jet Gas Pump, Trans. ASME, vol. 96, No. 3, p. 216, (1974).
10. Igor J. Karassik, William C. Krutzsch, Warren H. Fraser, Joseph P. Messina: Pump Handbook, McGraw-Hill Inc., p. 4-1, (1976).
11. E. Razinsky & J. A. Brighton: Confined Jet Mixing for Nonseparating Conditions, Trans. ASME, J. Basic Eng., vol. 93, No. 3, p. 333, (1971).
12. H. Schlichting: Boundary Layer Theory, 7th ed., McGraw-Hill Inc., p. 628, (1979).
13. John K. Vernard & Robert L. Street: Elementary Fluid Mechanics, 5th ed., McGraw-Hill Inc., p. 377~414, (1974).
14. Lewis F. Moody: Friction Factors for Pipe Flow, Trans. ASME, vol. 66, no. 8, p. 671, (1944).

謝 辭

本論文의 審査를 爲해 수고하신 宋江燮 教授님, 金春植 教授님, 指導教授 金喜澈 教授님께 感謝를 드리며, 어려울 때 激勵를 해 주신 金京根 教授님, 東元工專의 鄭大仁 教授님께 謝意를 表하며, 實驗裝置 製作에 도움을 준 基元產業 姜信昱 社長님께 感謝드리며, 이 榮光을 父母님께 돌린다.